

# 伝送線路上の入射，反射および透過波 に関する一検討

A Study on Incident, Reflected and Transmission Waves for Transmission Lines

永井信夫

Nobuo NAGAI

北海道大学 応用電気研究所

Research Institute of Applied Electricity, Hokkaido University

## 1. まえがき

伝送線路は回路網理論およびシステム理論の最も基礎となるものであり、その解析は波の反射および透過で行なわれる。すなわち、入射波と反射波を定義し、その2つの波の比が反射係数であるから、伝送線路は反射係数で解析される。

伝送線路の解析に用いられる反射係数を例えば「電気工学ハンドブック」<sup>(1)</sup>で調べてみると、接続点での反射係数として2種線路の特性インピーダンスのみで与えられるものと、負荷側を見込んだインピーダンスと特性インピーダンスで与えられるものとの2種類がある。文献<sup>(2)</sup>では、前者は波形の瞬時的な反射係数（文献<sup>(2)</sup>では過渡状態のものと述べたので誤解をまねいたので、ここで訂正させておく）であり、後者は定常状態の反射係数と考えられることを述べている。

電源の内部インピーダンスが複素数なら負荷インピーダンスが内部インピーダンスの共役複素数に等しいとき、負荷が電源の最大有効電力を取り出すことができ、電源と負荷が共役整合しているという。共役整合は電力反射係数から求められ、電力反射係数は（正規化された）複素スキャタリング行列（複素S行列）<sup>(3)</sup>から導出される。

S行列はエネルギーあるいは電力の反射および透過を表わすので、入射波、反射波および透過波は電圧あるいは電流ではなく、それらを正規化して直接電力に換算させる必要がある。そ

の正規化を何をするかについてはまだ問題として残っているため、文献<sup>(2)</sup>では正規化しない複素S行列を電圧S行列というにして、その電圧S行列で解析を試んでいる。すなわち、伝送線路上の任意の点での反射係数を電圧S行列から求めることを文献<sup>(2)</sup>で提案している。そのとき、任意の点から負荷側を見込んだインピーダンスと電源側を見込んだ等価電源の内部インピーダンスとで表わされる電力反射係数である。この反射係数はS行列に換算するため定常状態の解析に用いることができる、伝送線路上の任意の点における電圧および電流を求めるともできる。また不均一線路解析に用いられるリカッシュ方程式の解の物理的意味も説明できる。

本文では文献<sup>(2)</sup>で定義された反射係数（電力反射係数と呼ばれるが、電圧あるいは電流反射係数にもなりうるため、以下S形反射係数ということがある）の特徴をなお一層検討する。その一つは反射係数はS行列の(1, 1)要素に等しく、S行列はBounded Real (BR)条件を満足するから、反射係数の絶対値は1以下になるという条件が成立つはずであり、S形反射係数はその条件を満足することが示される。このことはS形反射係数の入射波が最大有効電力に換算していることを示している。そこで、S形反射係数以外の反射係数の入射波が何になつてゐるかについても検討する。なお、S形反射係数の定義は文献<sup>(3)</sup>に既に述べてある。

S行列は伝送線路上の波すなわち入射波および反射波から導出されたにもかかわらず、特性インピーダンスが複素数の伝送線路には複素S

行列を用いていい。本文で定常状態では複素S行列から導出されるS形反射係数を使うと都合のいいことを示すから、その結果、伝送線路にS形反射係数を使えるけれども、瞬時的解析にはどうしてS形反射係数を使えないのが疑問が残る。

5. では伝送線路の伝送方程式が瞬時にS形反射係数を用いることができることになつて理由を示し、瞬時にS形反射係数を用いることができる擬似伝送線路を6.において提案する。

## 2. 伝送線路の反射係数

ここでは従来からよく知られている一様伝送線路の解析<sup>(1), (4)</sup>について簡単に述べ、そこで用いられる電圧反射係数なども述べる。

### 2.1 損失をもつ一様伝送線路

ここでは次の一次定数をもつ一様伝送線路を考える。

$$\gamma = R + j\omega L \quad (R \geq 0) \quad (1.1)$$

$$Y = G + j\omega C \quad (G \geq 0) \quad (1.2)$$

伝送線路上の過渡現象を一般的に求める場合はラプラス変換を用いるのがよいが、ここでは角周波数成の正弦波交流のみを考える。そのため、伝送線路上の電圧  $V(x)$  および  $I(x)$  は次式を満たす。

$$-dV(x)/dx = (R + j\omega_0 L) I(x) \quad (2.1)$$

$$-dI(x)/dx = (G + j\omega_0 C) V(x) \quad (2.2)$$

上式を解くために、伝播定数および特性インピーダンス  $Z_0$  を次のように定義する。

$$\gamma = \sqrt{(R + j\omega_0 L)(G + j\omega_0 C)} = \alpha + j\beta \quad (\alpha \geq 0) \quad (3.1)$$

$$Z_0 = \sqrt{(R + j\omega_0 L)/(G + j\omega_0 C)} = R_0 + jX_0 \quad (R_0 > 0) \quad (3.2)$$

$\gamma, Z_0$  を用いれば、積分定数  $A, B$  を用いて式(2)は次のように表される。

$$V(x) = A e^{-\gamma x} + B e^{\gamma x} \quad (4.1)$$

$$I(x) = Z_0^{-1} (A e^{-\gamma x} - B e^{\gamma x}) \quad (4.2)$$

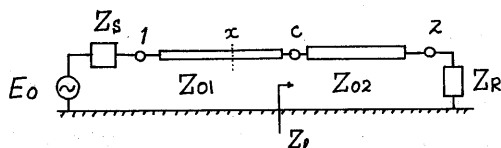


図1. 2種の伝送線路が接続している回路

上の  $A, B$  は端末条件により定まるので、送電端 ( $x=0$ ) および受電端 ( $x=l$ ) の電圧、電流をそれぞれ  $V_1, I_1$  および  $V_2, I_2$  とすれば次式を満たす。

$$\begin{bmatrix} V_1 \\ I_1 \end{bmatrix} = \begin{bmatrix} \cosh \gamma l & Z_0 \sinh \gamma l \\ Z_0^{-1} \sinh \gamma l & \cosh \gamma l \end{bmatrix} \begin{bmatrix} V_2 \\ I_2 \end{bmatrix} \quad (5)$$

この式は伝送線路をエポート回路と見なしたときの総統行列である。

### 2.2 電圧反射係数

伝送線路には電圧反射係数といわれるものが2種類定義されていると考えられるので、それを述べるために、図1に示す2種の損失を含む一様伝送線路を含む回路を考える。ここで  $E_0$  は正弦波電源の電圧を表わし、 $Z_S$  はその電源の内部インピーダンスであり、

$$Z_S = R_S + jX_S, (R_S > 0) \quad (6.1)$$

なる複素数とする。また  $Z_R$  は負荷インピーダンスであり、これも

$$Z_R = R_R + jX_R, (R_R \geq 0) \quad (6.2)$$

なる複素数とする。

ここで図1に示す卓Cすなわち2種の線路の接続点における反射係数の定義を「電気工学ハンドブック」で調べてみると、

① 3編7章(伝送および線路)での電圧反射係数は次のように定義されている。

$$\Gamma_c^V = \frac{Z_{02} - Z_{01}}{Z_{02} + Z_{01}} \quad (7)$$

② 3編6章(分布定数回路)での電圧反射係数はポートCから負荷側を見込んだインピーダンス  $Z_L$  と  $Z_{01}$  とで与えられ、

$$\Gamma_c^V = \frac{Z_L - Z_{01}}{Z_L + Z_{01}} \quad (8)$$

ここに  $Z_L$  は

$$Z_L = Z_{02} \frac{Z_R \cosh \gamma l_2 + Z_{02} \sinh \gamma l_2}{Z_R \sinh \gamma l_2 + Z_{02} \cosh \gamma l_2} \quad (9)$$

式(7), (8)は2種線路の接続点における電圧反射係数であるが、一様伝送線路上  $x$  における電圧反射係数も定義されていて、卓  $x$  と卓  $C$  との間の距離を  $(C-x)$  とすれば、式(7)に対応するものは零、すなわち

$$\Gamma_x^V = 0 \quad (7')$$

であり、式(8)に対応するものは次式のように与えられる。

$$\Gamma_x^V = \frac{Z_L - Z_{01}}{Z_L + Z_{01}} e^{-2\gamma(C-x)} \quad (8')$$

$T^V$  と  $\Gamma^V$  の違いについて考えておこう。今は单一周波数  $f_0$  の波を考えているが、その波形は時間とともに動いている。 $T^V_{\text{av}} = 0$  は一様伝送線路上では反射がないことを示しており、接続点のみに反射があるから、 $T^V$  は瞬時的な反射係数であると考えられる。

それに対して、式(8), (8')の  $\Gamma^V$  の  $Z_L$  はポート C に到達した波がポート C とポート A とで反射、透過を繰り返し、そのたびにポート C から左に戻る波があり、それらを合成したものに相当するインピーダンスを表わしているから、 $\Gamma^V$  は正常状態の電圧反射係数と考えられる。

### 3. 共役整合に關係する反射係数

反射係数は入射波と反射波から求まり、反射波はインピーダンスの不整合で生じるから、反射係数は整合と關係する。電源の内部インピーダンスが複素数の場合には共役整合といふインピーダンス整合があり、それは複素 S 行列に關係するので、複素 S 行列について簡単に述べる。また図 1 に示す回路において、卓 C および卓 A における反射係数として共役整合に關係するものを提案する<sup>(2)</sup>。なおこの反射係数は文献(3)で既に述べられており、共役整合の観点からの定在波についても述べられている。

#### 3.1 最大有効電力と共役整合

図 2 に示すように内部インピーダンスが複素数  $Z_g$  ( $Z_g = R_g + jX_g$ ,  $R_g > 0$ ) と正弦波電圧  $E_g$  の電源に負荷としてインピーダンス  $Z_L$  ( $= R_L + jX_L$ ,  $R_L \geq 0$ ) を接続して、 $Z_L$  で消費される有効電力を計算すると、 $Z_L$  が  $Z_g$  の共役複素数に等しいとき最大値

$$P_{\max} = |E_g|^2 / 4R_L [Z_g] = |E_g|^2 / 4R_g \quad (10)$$

をとる。ここに示した  $P_{\max}$  のことを内部インピーダンス  $Z_g$  をもつ電圧源  $E_g$  から取出しうる最大有効電力といふ。また  $Z_g$  の共役複素数が負荷として接続されたりときは、その接続点で共役整合しているといふ。

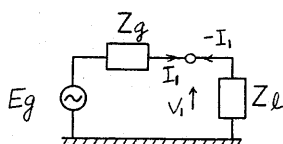


図 2 電源と負荷が接続された回路

図 2 に示す回路において、 $Z_g$  に關係する  $Z_L$  の反射係数  $\Gamma_1^P$  は次のように与えられる<sup>(5)</sup>。

$$\Gamma_1^P = \frac{Z_L - Z_g^*}{Z_L + Z_g} \quad (11)$$

ここに  $Z_g^*$  は  $Z_g$  の共役複素数。なお、 $\Gamma_1^P$  のことを電力反射係数と呼ぶこともあるが、文献(5)では電流の反射係数として式(11)を求めている。

#### 3.2 複素 S 行列と電圧複素 S 行列

反射係数は S 行列に關係し、正規化係数に關係する S 行列は BR (Bounded Real) 条件があり、電力およびエネルギーと關係する。

2. での反射係数は電圧反射係数であり、S 行列とは対象が違うとも考えられるが、S 行列も入射波と反射波から導かれるのであるから、S 行列と電圧反射係数との關係を検討する必要があろう。そこで図 2 に示す回路についてポート 1 における S 行列、ここでは特に複素 S 行列を考察する。

ポート 1 の左側に生じている入射波  $a_g$  および反射波  $b_g$  は文献(3)の定義によると次のようく表される。

$$a_g = \{ V_1 + Z_g I_1 \} / 2\sqrt{R_g} \quad (12.1)$$

$$b_g = \{ V_1 - Z_g^* I_1 \} / 2\sqrt{R_g} \quad (12.2)$$

同様に、ポート 1 の右側に生じている入射波  $a_L$  および反射波  $b_L$  は

$$a_L = \{ V_1 - Z_L I_1 \} / 2\sqrt{R_L} \quad (13.1)$$

$$b_L = \{ V_1 + Z_L^* I_1 \} / 2\sqrt{R_L} \quad (13.2)$$

従って、次の複素 S 行列が求まる。

$$\begin{bmatrix} b_g \\ b_L \end{bmatrix} = \begin{bmatrix} S_{11}^P & S_{12}^P \\ S_{21}^P & S_{22}^P \end{bmatrix} \begin{bmatrix} a_g \\ a_L \end{bmatrix} \\ = \frac{1}{Z_g + Z_L} \begin{bmatrix} Z_L - Z_g^* & 2\sqrt{R_g R_L} \\ 2\sqrt{R_g R_L} & Z_g - Z_L^* \end{bmatrix} \begin{bmatrix} a_g \\ a_L \end{bmatrix} \quad (14)$$

上の複素 S 行列は式(12)は  $\sqrt{R_g}$  で正規化され、式(13)は  $\sqrt{R_L}$  で正規化されている。S 行列は一般に電圧、電流そのものではなく、エネルギーの流れを表すために正規化した波を取り扱うが、複素 S 行列は何で正規化すべきか必ずしも統一されている訳ではない。例えば文献(6)では

$P_g P_g^* = R_g$  となる複素数  $P_g$  が  $\sqrt{R_g}$  の代りをしていて、そこで本文では正規化しない波を用いて解析を行ない、正規化を何にするのが物理的に見て妥当かをも検討する。

式(12)を正規化しないで、次のように表わす。

$$\alpha_g = \{V_1 + Z_g I_1\}/2 \quad (15.1)$$

$$\beta_g = \{V_1 - Z_g^* I_1\}/2 \quad (15.2)$$

同様に式(13)を次のように表わす。

$$\alpha_\ell = \{V_1 - Z_\ell I_1\}/2 \quad (16.1)$$

$$\beta_\ell = \{V_1 + Z_\ell^* I_1\}/2 \quad (16.2)$$

上の  $\alpha_g, \alpha_\ell$  は入射波,  $\beta_g, \beta_\ell$  は反射波であり, 次元はすべて電圧を表わしているので, 式(15), (16)から導びかれる次の行列を電圧複素 S 行列と名付ける。

$$\begin{bmatrix} \beta_g \\ \beta_\ell \end{bmatrix} = \begin{bmatrix} S_{11}^V & S_{12}^V \\ S_{21}^V & S_{22}^V \end{bmatrix} \begin{bmatrix} \alpha_g \\ \alpha_\ell \end{bmatrix}$$

$$= \frac{1}{Z_0 + Z_g} \begin{bmatrix} Z_\ell - Z_g^* & Z_g + Z_g^* \\ Z_\ell + Z_\ell^* & Z_g - Z_\ell^* \end{bmatrix} \begin{bmatrix} \alpha_g \\ \alpha_\ell \end{bmatrix} \quad (17)$$

前に述べたように, 式(14)は電力に廻係し, 式(17)は電圧に廻係している。それらの式の中の  $S_{11}^V$  と  $S_{12}^V$  とは同一であり, しかも式(11)で与えられる電力反射係数  $T_i^P$  とも等しい。すなわち,  $T_i^P$  は電力反射係数と呼ばれているけれども, 電圧の反射係数  $S_{11}^V$  にも等しいことに注意する必要がある。そこで,  $T_i^P$  を S 形反射係数と呼ぶことにする。

### 3.3 伝送線路上の S 形反射係数

2. では図1に示す伝送線路上の電圧反射係数には瞬時的なものと定常状態のものと 2 種類定義されることを示した。複素 S 行列を基にすればもう 1 つの反射係数を求められる<sup>(3)</sup>。すなわち, 例えば図1のポート C における反射係数を複素 S 行列から求めると, ポート C から負荷側を見込んだインピーダンスは式(9)の  $Z_\ell$  であり, ポート C から左側の電源側はテフナンの定理を用いて等価電源を求め, その電圧を  $E_g$ , その内部インピーダンスを  $Z_g$  とする。そのときの  $E_g$  および  $Z_g$  は次のようになる。

$$E_g = E_0 \frac{Z_0}{Z_s \sinh y_\ell + Z_0 \cosh y_\ell} \quad (18.1)$$

$$Z_g = Z_0 \frac{Z_s \cosh y_\ell + Z_0 \sinh y_\ell}{Z_s \sinh y_\ell + Z_0 \cosh y_\ell} \quad (18.2)$$

これらの  $E_g, Z_g, Z_0$  を用いるとポート C での等価回路は図2に示す回路となり, その S 形反射係数は式(17)より, 式(11)に示す  $T_i^P$  となる。すなわち,

$$T_c^P = \frac{Z_\ell - Z_g^*}{Z_\ell + Z_g} \quad (19)$$

この式は見込んだインピーダンス  $Z_\ell$  および  $Z_g$  を用いての定常状態の反射係数であり,

しかも共役整合と廻係する式となっている。一方, 式(8)もポート C における定常状態の反射係数である。式(8)と(19)は同じポートにおいての定常状態の式であるにもかかわらず, 異なる式となっているのはどうしてであるかが問題である。そこで, 式(8)と(19)との違いが現われる一つの例を示す。

### 3.4 反射係数の絶対値

図1に示す回路において,  $Z_s$  および  $Z_0$  が等しくしかも実数であり,  $Z_\ell$  が正実虚数なら, その反射係数は Bounded Real となり, 実周波数では絶対値が 1 以下になる。

このことを  $Z_s$  および  $Z_0$  が複素数になった場合も考えることができ, 式(19)はその絶対値は常に 1 以下になる<sup>(3)</sup>。すなわち文中に述べたように

$$Z_g = R_g + jX_g, \quad R_g > 0 \quad (20.1)$$

$$Z_\ell = R_\ell + jX_\ell, \quad R_\ell \geq 0 \quad (20.2)$$

とすれば, 式(19)の  $|T_c^P|$  は

$$T_c^P = \frac{(R_\ell - R_g) + j(X_\ell + X_g)}{(R_\ell + R_g) + j(X_\ell + X_g)} \quad (21)$$

$$\therefore |T_c^P| \leq 1$$

一方式(8)で与えられる  $|T_c^V|$  は必ずしもそうなるとは限らないことを例題で示す。

#### [例題 1]

$$Z_s = Z_0 = R_g + jX_g \quad (22.1)$$

$$Z_\ell = -jX_g \quad (22.2)$$

とすれば,

$$T_c^V = \frac{-j2X_g - R_g}{R_g} \quad (23)$$

この場合  $|T_c^V|$  の絶対値は 1 より大きくなる。なおこの場合,  $|T_c^P|$  の絶対値は 1 である。[例題終]

$T_c^P$  と  $T_c^V$  とでこのような違いが生じるのは, 入射波の定義の違いによると言えられるので, 次章以後で検討する。

### 4. 定常状態の反射係数

通信工学ではインパルスあるいはインパルスに極く近い波形をペルス伝送に用いるため, 特性インピーダンスが異なる線路の接続点で反射, 透過が行なわれることを観測することができる。一方, 撥送波のように單一周波数に近い波のみの伝送の場合には, 過渡状態が終れば定常状態となり, 線路, 負荷のインピーダンスに違いがあるときは定在波が生じる。定常状態では定在

波が生じているのみであるから、入射波や反射波を観測できないので、走在波から入射波および反射波を定めている。すなわち定常状態の入射波および反射波の定義が何になっているのかが問題となる。そこで、伝送回路が無損失の場合と損失のある場合とに分けて検討する。

#### 4.1 伝送回路が無損失の場合

伝送回路が無損失のときの反射係数を検討するために、まずS形反射係数 $\Gamma^P$ について考察する。すなわち図3(a)に示す回路を考え、ポート $i$ および $(i+1)$ のS形反射係数について考えてみよう。図3(a)に示す回路のポート $i$ および $(i+1)$ における見込んだインピーダンスとテブナンの定理を用いて得られる等価回路が図3(b)および(c)のようく表されるとしよう。

もし、図3(a)に示す回路で、伝送回路 $N_i$ が無損失であるならば、ポート $i$ および $(i+1)$ におけるS形反射係数は次式を満足することが知られている。<sup>(3)</sup>

$$|\Gamma_i^P| = |\Gamma_{i+1}^P| \quad (24)$$

ここに  $\Gamma_i^P = \frac{Z_{L(i)} - Z_g^*(i)}{Z_{L(i)} + Z_g(i)}$

$$\Gamma_{i+1}^P = \frac{Z_{L(i+1)} - Z_g^*(i+1)}{Z_{L(i+1)} + Z_g(i+1)}$$

すなわち、伝送回路全体が無損失なら、その回路の中のどの $\Gamma^P$ の絶対値も等しくなり、送電端の $\Gamma^P$ も同様である。送電端は最大有効電力を離して、負荷で最大有効電力を取り出してくるかどうかが送電端のS形反射係数で知ることができることを示している。ところで、回路が正実数であれば、抵抗終端のリアクタンス回路で表わされるから、電源の内部インピーダンス

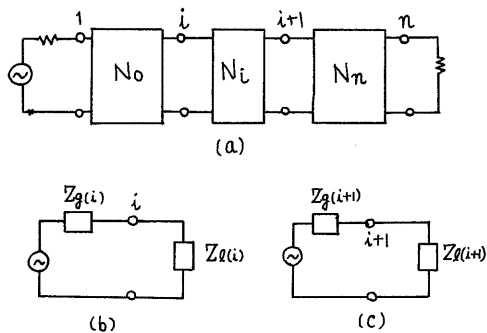


図3 (a) 無損失伝送回路

(b), (c) ポート $i$ ,  $i+1$ における等価回路

は抵抗となり、送電端でのS形反射係数は共役複素数が離れるくなる。

伝送回路中の任意の卓における特性インピーダンスは集中定数回路には定義されていないと考えられる。なお影像インピーダンスが特性インピーダンスに似てはいるが、特性インピーダンスと異なるところがあるので、伝送線路の電圧反射係数 $\Gamma^V$ は分布定数回路のみで考えることにする。

無損失伝送回路を分布定数回路すなわち $\lambda/4$ 波長線路とした $\lambda/4$ 波長インピーダンス変成器を考えた場合、線路上の任意の卓でS形反射係数 $\Gamma^P$ は共役整合から零になるのにに対し、 $\Gamma^V$ は送電端のみで零となることが示されるが、他のどの点でも零になるようには設計されていない。

$\lambda/4$ 波長インピーダンス変成器は無損失線路のみを伝送回路に用いているので、線路の特性インピーダンスはすべて実数であり、電源の内部インピーダンスおよび負荷も純抵抗であるから複素数は用いていない。しかし、定常状態の線路上の任意の卓から見込んだインピーダンスは複素数になる。けれども、線路の接続卓での見込んだインピーダンスは実数である。

例えば、図4に示す回路は $100\Omega$ を $25\Omega$ に変換する最大平坦の2段の $\lambda/4$ 波長インピーダンス変成器であり、2種の線路の特性インピーダンスは図4に示すように $50\sqrt{2}\Omega$ と $25\sqrt{2}\Omega$ である。また見込んだインピーダンスは図4に示す通りである。従って $\Gamma^V$ なる反射係数は送電端のみで零になり、他では零とはならない。それに對して、線路上の任意の卓で共役整合し、 $\Gamma^P = 0$ となる。

$\Gamma^P$ と $\Gamma^V$ との相異は入射波と反射波の定義の相異から起ると考えられる。無損失回路で入射波および反射波の定義を検討する前に、4.2において伝送回路が損失をもつ場合を検討し、伝送回路が有損失のとき無損失との違いを検討しておく。

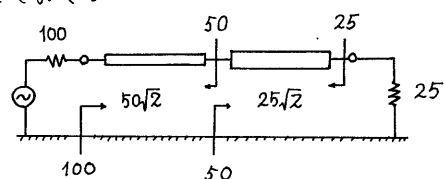


図4 2段の $\lambda/4$ 波長インピーダンス変成器

#### 4.2 伝送回路が有損失の場合

伝送回路が損失をもつ場合で最も簡単な回路は、図5に示す抵抗回路である。図5では電源は直流電圧源で電圧はEとし、その内部抵抗は $R_s$ とする。伝送回路は直列抵抗 $r$ がn個直列に接続している。また負荷抵抗は $R_R$ とする。

この電源に対して、伝送回路も負荷の一部分として電源の最大有効電力を負荷回路全体で取り出すためにには、送電端の共役整合性より

$$R_s = n r + R_R \quad (25)$$

上式を満足することが本来の意味における最大有効電力を取り出すための負荷抵抗値である。

図5の回路で式(25)を満足するとき、各ポート $i$  ( $i=1, 2, \dots, n+1$ ) におけるS形反射係数を求めることができ、

$$\gamma_i^P = - (i-1) r / R_s \quad (26)$$

すなわち、ポート1(送電端)のみで零になり、他では零とはならぬ。例えばポート( $n+1$ ) (受電端)でのS形反射係数 $\gamma_{n+1}^P$ は

$$\gamma_{n+1}^P = - n r / R_s \quad (27)$$

となり、すべてのポートの中で絶対値は最大になる。

以上のことと言ひ換えると、伝送回路が損失を持つならば送電端でS形反射係数が零になってしまっても、実際の負荷抵抗が接続している受電端においてはそのS形反射係数が零になるとは限らぬ。従って、S形反射係数が零になるというのはどうゆうことか意味するのかを改めて考える必要がある。そのため、図6に示すように送電端と受電端のみを取り出した抵抗回路を考えよう。

この電源固有の最大有効電力を負荷回路で取り出すためにには送電端での反射係数が零であるから、

$$R_s = R_a + R_R \quad (28)$$

このとき、受電端の反射係数は

$$\gamma_2^P = - R_a / R_s \quad (29)$$

となり、零ではなし。式(28)を満足するときの

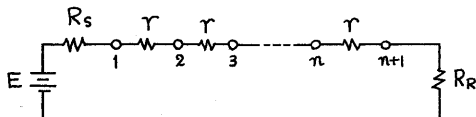


図5 直列抵抗を伝送回路とする  
多ポート直流回路

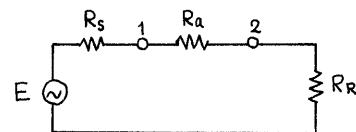


図6 抵抗伝送回路

受電端における実際の電圧 $V_2$ は

$$V_2 = E R_R / 2 R_s \quad (30)$$

になるが、これが式(29)の $T_2^P$ と同じような關係を満足するかを考えてみよう。

受電端から電源側を見ると電源の内部抵抗が $R_s + R_a$ に見えるので受電端のS形反射係数が零にはなるのは $R_R$ が $R_s + R_a$ に等しいときであり、そのときの受電端の電圧は

$$E/2 \quad (31)$$

であり、そのとき負荷 $R_s$ で最大の電力を消費する。

式(28)～(31)を組み合せると、

$$\frac{E R_R}{2 R_s} = \frac{E}{2} \left\{ 1 - \frac{R_a}{R_s} \right\}$$

すなわち、

実際の電圧 =  $\{1 + S形反射係数\} \cdot E/2 \quad (32)$   
を得る。

上の式における“実際の電圧”は電圧複素S行列の中の透過程係数で腐角づけた方が(2)わかりやすい。ここで注意しなければことは定常状態でのS形反射係数は常に実際の電圧あるいは電流に腐角をもつていて、しかもそのポートから負荷側をすべて負荷とする負荷全体で消費する有効電力の最大値にも腐角していることである。また伝送回路が損失をもつ場合には伝送回路と負荷とを負荷回路として、そこへ本来の意味における電源の最大有効電力を送り出しても、実際の負荷を取り出し得る最大の消費電力をその実際の負荷で取り出しては限らない。したがって、伝送回路が無損失の場合には最大有効電力は大きな意味を持ってはいるのに對し、伝送回路が損失をもつ場合には、受電端でS形反射係数を求めるためにテブナンの定理を用いて等価電源の電圧および内部インピーダンスを求めることが極めて重要なとなる。

次章の5.では定常状態の伝送線路上の反射係数を最大有効電力の根柢から検討する。

## 5. 定常状態の伝送線路上の反射係数

伝送線路上の定常状態の反射係数として、式(8)の電圧反射係数  $\Gamma^V$  と式(11)のS形反射係数  $\Gamma^P$  とがあるが、その違いを無損失回路で明らかにする。また有損失伝送線路でのインピーダンス整合についても一度検討する。

### 5.1 無損失伝送線路上の反射係数

無損失伝送線路上の反射係数として、 $\Gamma^V$  と  $\Gamma^P$  とがあり、その違いを知るために図7に示す一段の1/4波長インピーダンス変成器を考える。実際の回路は例えば  $50\Omega$  を  $100\Omega$  に変換するものとすれば、次のようになる。

$$R_s = 50, \quad Z_0 = 50\sqrt{2}, \quad R_R = 100$$

$$Z_g = 100 \quad (33)$$

この回路の受電端における反射係数は、

$$\Gamma_2^V = \frac{R_R - Z_0}{R_R + Z_0} \quad (34.1)$$

$$\Gamma_2^P = \frac{R_R - Z_g^*}{R_R + Z_g} \quad (34.2)$$

式(34)に式(33)を代入すると、 $\Gamma_2^P = 0$  となるが、 $\Gamma_2^V$  は零とは異なることに注意しよう。

式(33)とは  $R_s$  が異なる値の場合で、次のような場合を考える。

$$R_s = Z_0 = 50\sqrt{2}, \quad R_R = 100$$

$$Z_g = 50\sqrt{2} \quad (35)$$

この場合、 $\Gamma_2^V = \Gamma_2^P$  となる。式(35)を各要素が満足すれば、送電端で整合してしまって、電源の最大有効電力となる電圧および電流が線路に励振されると考えられ、負荷に向って進行する波すなわち入射波は電源の最大有効電力の波となる。

その波が負荷  $R_R$  と向こうに到達すると  $Z_0$  と  $R_R$  とが異なれば反射が生じ、その瞬時の反射係数  $\Gamma_2^V$  も式(34.1)で与えられる。この反射波が左に向って進行するときのインピーダンスは  $Z_0$  であり、それが送電端に到達すると、電源の内部抵抗も  $Z_0$  であるから整合して電源に吸収され

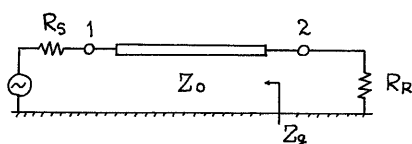


図7 1/4波長インピーダンス変成器

る。すなわち線路上の波は電源から最大有効電力で表される入射波と、負荷で反射され電源で吸収される反射波との2つの瞬時の波のみが存在する。従って、 $Z_0$  と  $R_R$  とが等しいときは式(34.1)の  $\Gamma_2^V$  に対する入射波も最大有効電力に腐保する。

それに対して、 $R_s$  が  $Z_0$  に等しくない式(33)の場合には送電端で反射が生じ、負荷に向って進行する入射波は電源の最大有効電力から反射波の電力だけ少がるものとなる。その波が負荷に到達すると、 $Z_0$  と  $R_R$  との違いにより瞬時に反射が生じ、その反射係数  $\Gamma_2^V$  も式(34.1)で与えられる。そこで生じた反射波が送電端に到達すると  $Z_0$  と  $R_s$  との違いによりまた反射を生じ、その瞬時の反射係数は

$$\frac{R_s - Z_0}{R_s + Z_0} \quad (36)$$

で与えられ、その反射波は入射波となって負荷に向って進行する。

このように考えれば、 $\Gamma^V$  における入射波は送電端で整合してしまった限り最大有効電力の波に分かれ、 $\Gamma^P$  における入射波は反射を繰り返すたびに負荷に向う波も入射波に付け加えられていると考えられる。

すなわち、 $\Gamma^P$  を求めるときは電源側はテブナンの定理を用いているため、受電端を開放し受電端に到達した波はすべて反射させて送電端に戻し、送電端ではインピーダンス不整合のためにまた反射波を生じさせてそれを受電端に向って進行させるということを繰り返している。このことはテブナンの定理を用いて等価電源の電圧が次のように表されることよりわかる。

$$E_g = E_o \frac{Z_0}{Z_0 \sinh \beta l + Z_0 \cosh \beta l} \\ = \frac{E_o \cdot 2Z_0 e^{-\beta l}}{Z_0 + Z_0} \cdot \frac{1}{1 - \frac{Z_0 - Z_0}{Z_0 + Z_0} e^{-2\beta l}} \quad (37)$$

1/4波長インピーダンス変成器では電源の内部抵抗  $R_s$  と負荷抵抗  $R_R$  とが異なる値であっても、負荷抵抗で電源の最大有効電力を取り出してしまったことが示されるから、瞬時に反射を繰り返しても、入射波にそれらの反射波が加え合されて、定常状態では電源の最大有効電力を負荷で取り出せるようになり、そのようなら入射波を  $\Gamma_2^P$  に用いてしまうことになる。

## 5.2 有損失伝送線路上の反射係数

伝送回路の解析・合成は最大有効電力を考えて行うために S 行列が有用である<sup>(6)</sup>。特に伝送回路が無損失なら、任意の点での S 形反射係数の絶対値が送電端での反射係数の絶対値に等しいので、最大有効電力がより重要となる。

伝送回路が損失をもつ場合には受電端における S 形反射係数が最も重要であり、それは送電端での反射係数とは直接関係しないで、テフナンの定理による等価電源における（等価）最大有効電力が関係し、複素 S 行列に関係する。

ここでは定常状態の反射係数として S 形反射係数  $\gamma_P$  を考えることにし、それが瞬時的な反射係数である式(7)の  $\gamma^P$  とどのようにかかっているかを検討する。

伝送線路に限って、送電端でも受電端でも反射が生じないとして知られている完全整合回路を図 8(a)に示す。図 8(a)に示す回路の受電端での等価電源回路をテフナンの定理を用いて求めれば図 8(b) が求まる。従って受電端での S 形

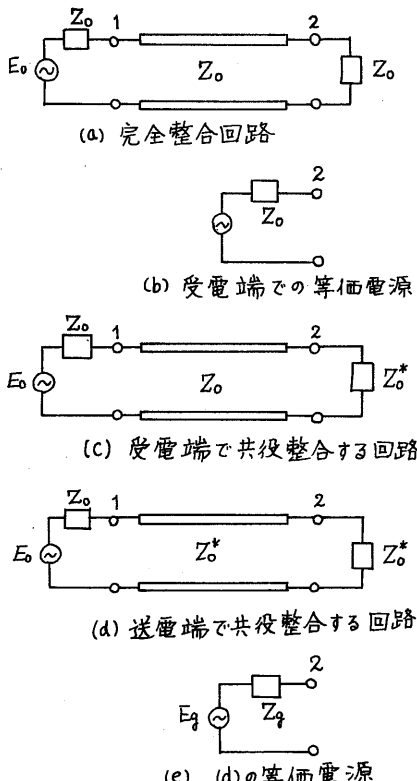


図 8 伝送線路の定常状態での整合

反射係数を求めると、

$$\gamma_P^P = \frac{Z_0 - Z_0^*}{2Z_0} \quad (38)$$

となり、 $\gamma_P^P$  は零ではないから、図 8(a)に示す回路では負荷で消費できる最大の有効電力を取り出していく。

図 8(a)に示す回路では、送電端から負荷側を見込んだインピーダンスも  $Z_0$  であるから、送電端での S 形反射係数も零ではない。すなわち送電端から右側すべてを負荷回路として、その負荷回路で電源の最大有効電力を取り出していく。

以上から、定常状態の電圧反射係数  $\gamma^V$  は電力につけては何も考慮しないで、電圧の大きさのみに関係している。どうして  $\gamma^V$  はそうならないかについては次章で改めて述べる。

図 8(a)の回路に戻り、受電端で共役整合するためには受電端から見込んだインピーダンスが  $Z_0^*$  になるときであり、そのような回路として図 8(c)に示す回路になる。

図 8(c)では瞬時に受電端で反射を生じさせ、電圧と電流の位相差を修正し、負荷で消費電力が大きくなるようにしている。このとき送電端から負荷側を見込んだインピーダンスは  $Z_0^*$  とは異なるから、伝送線路に最大有効電力が送り出されてしまうわけではない。

電源から伝送線路に最大有効電力を励振し、負荷で瞬時に反射を生じない回路は図 8(d)に示すものである。このとき、受電端でテフナンの定理を用いて得られる等価電源は図 8(e)に示すもので、電圧  $E_g$ 、内部インピーダンス  $Z_g$  は次のように表される。

$$E_g = E_0 \frac{Z_0^*}{Z_0 \sinh gl + Z_0^* \cosh gl} \quad (39.1)$$

$$Z_g = Z_0^* \frac{Z_0 \cosh gl + Z_0^* \sinh gl}{Z_0 \sinh gl + Z_0^* \cosh gl} \quad (39.2)$$

すなわち、 $Z_g$  は  $Z_0$  に等しくないために、負荷のインピーダンスを  $Z_g^*$  とし方で負荷で消費する電力は大きくなる。これは送電端で瞬時に反射が生じてからと考えられる。

以上の結果から、送電端と受電端の双方で  $\gamma_P$  を零にすることが、複素数の特性インピーダンスをもつ一樣伝送線路ではできないことが示された。このことが複素 S 行列の使用をパワートランジスタなど電力に直接関係するものに限定

していって、複素 S 行列における波の物理的意味がよく理解されない理由と考えられる。そこで、6.において瞬時的にも共役整合が成り立つような回路を作ることを提案し、それを用いれば複素 S 行列および電圧複素 S 行列の波の定義が明らかとなり、また電圧反射係数  $T^V$  が電圧の大きさのみに關係し、電力とは全く關係ない  $\alpha$  となることが示される。

## 6. 擬似伝送線路

ここでは瞬時的に共役整合を満足する回路を提案し、その回路を用いて電圧複素 S 行列を検討し、電圧複素 S 行列の物理的意味を明らかにすることによって複素 S 行列を求める正規化の値などを明らかにする。

### 6.1 擬似伝送線路

ここでは瞬時的であり、ても共役整合しているとき反射波が生じない回路を無ひずみ線路とリアクタンスとを用いて構成できることを示し、その回路を(共役整合形)擬似伝送線路と名付ける。

長さ  $l$  の無ひずみ線路の継続行列は次のように与えられる。

$$\begin{bmatrix} V_1 \\ I_1 \end{bmatrix} = \begin{bmatrix} \cosh \gamma l & R_0 \sinh \gamma l \\ R_0^{-1} \sinh \gamma l & \cosh \gamma l \end{bmatrix} \begin{bmatrix} V_2 \\ I_2 \end{bmatrix} \quad (40)$$

ここに  $R_0$  は全周波数で一定の実の特性インピーダンスであり、 $\gamma$  は伝搬定数で、

$$e^{\gamma l} = e^\alpha e^{ST}, S \text{ は複素周波数}, T \text{ はサンプリング周期}$$

この無ひずみ線路の左右にリアクタンスを接続した図 9 に示す回路の継続行列は

$$\frac{1}{2R_0} \begin{bmatrix} Z_0^* e^{\gamma l} + Z_0 e^{-\gamma l} & 2Z_0 Z_0^* \sinh \gamma l \\ 2 \sinh \gamma l & Z_0 e^{\gamma l} + Z_0^* e^{-\gamma l} \end{bmatrix} \quad (41)$$

$$\text{ここに } Z_0 = R_0 + jX_0$$

図 9 に示す回路でリアクタンスの部分を虚数抵抗<sup>(5)</sup>に変えるならば、單一周波数だけではなく全周波数で上式を満たし、デジタルフィルタに変換できるようになる<sup>(7)</sup>。

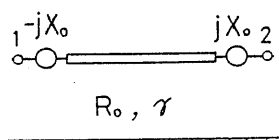


図 9 無ひずみ線路と虚数抵抗で構成される  
(共役整合形) 擬似伝送線路

式(41) は式(5) とは異なり、特性インピーダンス  $Z_0$  とその共役複素数  $Z_0^*$  を含んでいる。式(5) の継続行列は積分定数  $A, B$  を含む式(4) から導びかれるのであるから、式(41) も積分定数を含む式から導びかれるはずであり、その式を求めると次式となる。

$$V(x) = A e^{-\gamma x} + B e^{\gamma x} \quad (42.1)$$

$$I(x) = Z_0^{*-1} A e^{-\gamma x} - Z_0^{-1} B e^{\gamma x} \quad (42.2)$$

上式は  $A$  が入射波の電圧、 $B$  が反射波の電圧であることを示しているのは式(4.1) と同一であるが、電流を表わす式(42.2) は式(4.2) とは違っていて、式(42.2) の電流は次のように説明される。すなはち、式(42.2) の右辺第 1 項は入射電流を表わしているから、その入射波の特性インピーダンスは  $Z_0^*$  となる。また第 2 項は反射波であるから、反射波の特性インピーダンスは  $Z_0$  になっていることを示している。

このように式(41) を満たす回路は伝送線路とは異なるが、式(42) を用いて線路の特性インピーダンスが求められることになるから伝送線路に似た回路である。そこで式(41) を満たす回路を(共役整合形) 擬似伝送線路と呼ぶことにする。

式(41) の擬似伝送線路を伝送回路とし、電源の内部インピーダンスが  $Z_0$ 、負荷インピーダンス  $Z_0^*$  を接続した図 10 の回路を考えてみよう。この回路では送電端から負荷側を見込んだインピーダンスが  $Z_0^*$  となり、受電端から電源側を見込んだインピーダンスが  $Z_0$  となるから、送電端でも受電端でも共役整合している。またこの回路では擬似伝送線路上の任意の点で共役整合をしていることも示される。

無損失回路では 4.1 で示したように S 形反射係数の絶対値がどのポートでも等しいから、線路上の任意の点で共役整合させることができる。それに対して有損失の場合には 4.2 で示したように各ポートで S 形反射係数が異なり、擬似伝送線路がもつこの性質は特殊なものである。

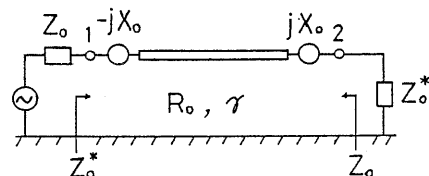


図 10 擬似伝送線路の特性インピーダンス

この性質は定抵抗回路を拡張したものである。すなわち、無ひずみ線路を無ひずみ条件を満足するように用いている場合の定抵抗回路の条件を拡張したものと考えられるから、擬似伝送線路のこの性質を“定インピーダンス回路の条件”を満足するということにする。

## 6.2 擬似伝送線路の反射係数

擬似伝送線路の継続行列（式(41)）と電圧および電流の伝搬を表す式(42)とが与えられてるので、電圧および電流の反射係数を求めるところを考え、まず瞬時的なものから求めよう。そのためには、図11に示すように6.1で求めた擬似伝送線路にインピーダンス $Z_L$ なる負荷を接続し、受電端における反射係数を考える。なお電源の内部インピーダンスは定常状態のこととも考えて図11に示すように $Z_0$ としておく。

受電端での反射係数を求める一つの方法は、式(42)を用いるのであるが、負荷インピーダンスが $Z_L$ であるから、

$$V(l)/I(l) = Z_L \quad (43)$$

として、これを式(42)に代入し、電圧反射係数は $B e^{j\ell} / A e^{-j\ell}$ として求まる<sup>(1)</sup>。すなわち

$$\frac{B e^{j\ell}}{A e^{-j\ell}} = \frac{Z_0}{Z_0^*} \frac{Z_L - Z_0^*}{Z_L + Z_0} \quad (44)$$

したがって、この電圧反射係数は $Z_0/Z_0^*$ なる係数を除けば、S形反射係数と同じになつてゐる。ところで、上式の $Z_0/Z_0^*$ を左辺に移行した次式を求めると、

$$\frac{Z_0^* B e^{j\ell}}{Z_0^* A e^{-j\ell}} = \frac{Z_L - Z_0^*}{Z_L + Z_0} \quad (45)$$

右辺はS形反射係数であり、左辺の $Z_0^* B e^{j\ell} / Z_0^* A e^{-j\ell}$ は式(42.2)の関係から、電流反射係数になつてゐる。

反射係数を求める方法として、入射波、反射波および透過波の電圧、電流を定義して行う方法もあるので、その方法で求めても電流反射係数

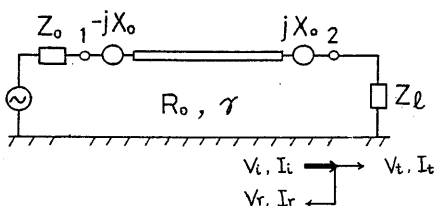


図11 擬似伝送線路に対する入射波、反射波および透過波

数がS形反射係数にならかどうかを確かめる。

瞬時的な入射波の電圧、電流を図11に示すように $V_i, I_i$ とすれば、式(42)の関係より、

$$V_i / I_i = Z_0^* \quad (46.1)$$

瞬時的な反射波の電圧 $V_r$ 、電流 $I_r$ は

$$V_r / I_r = Z_0 \quad (46.2)$$

また透過波の電圧 $V_t$ 、電流 $I_t$ は次式を満足す。

$$\frac{V_t}{I_t} = \frac{V_i + V_r}{I_i - I_r} = Z_L \quad (46.3)$$

上の式(46)を解いて電圧反射係数を求めると

$$\frac{V_r}{V_i} = \frac{Z_0}{Z_0^*} \frac{Z_L - Z_0^*}{Z_L + Z_0} \quad (47)$$

となり、式(44)と一致する。

電流反射係数を求めると、

$$\frac{I_r}{I_i} = \frac{Z_L - Z_0^*}{Z_L + Z_0} \quad (48)$$

となり、式(45)と一致し、電流反射係数がS形反射係数に等しい。

以上の考察より、擬似伝送線路の瞬時的な反射係数は伝送線路の瞬時的な反射係数（式(7)の $S^V$ ）と異なり、共役整合に座標するS形反射係数と一致するものがあることが確かめられたが、S形反射係数に一致するものは電流反射係数であり、電圧反射係数ではない。このことは瞬時的なものに対してのみ生じるのかを知るために、定常状態における電圧反射係数を電圧複素S行列から求めておこう。

図11に示す回路では受電端から電源側を見込んでインピーダンスは $Z_0$ であるから、受電端での定常状態の電圧反射係数は電圧複素S行列の $S_{11}^V$ として求められるから、

$$S_{11}^V = \frac{\beta g}{\alpha g} = \frac{Z_L - Z_0^*}{Z_L + Z_0} \quad (49)$$

となる。

式(17)の $\alpha g, \beta g$ は確かに電圧として定義されるものであり、式(49)は定常状態の電圧反射係数であり、しかもS形反射係数である。それに対して、瞬時的な反射係数では電圧反射係数はS形反射係数と $Z_0/Z_0^*$ だけ異なり、電流反射係数がS形反射係数に一致する。このことは擬似伝送線路特有の性質のために、瞬時的なものと定常状態の反射係数とで異なるところであるのかといふ疑問が生じる。

次節の6.3において、電圧複素S行列の入射波および反射波の定義について検討する。

### 6.3 電圧複素 S 行列の入射電圧波

#### および反射電圧波

ここまで議論では、伝送線路の瞬時的解析には複素 S 行列を用いることができないため、複素 S 行列は定常状態のみに用いていた。しかし S 行列は伝送線路の解析から考え出されたものであり、抵抗と無損失線路のみで構成される回路は瞬時的でも定常状態でも S 行列で解析できる。

6.2 で導入された擬似伝送線路は伝送線路とは異なり共役整合に關係してあり、瞬時的反射係数であっても S 形反射係数に一致するものがあり。それが電圧反射係数か電流反射係数かを確かめることができ問題になつてゐるだけである。そこで、複素 S 行列および電圧複素 S 行列について改めて検討する。なぜならば、今までではそれらを定義のまま用いていて、それらの入射波、反射波について深くは考察されていない。そのためには実際の電圧および電流と直接關係する電圧複素 S 行列で検討する方がよいと考えられるので、式(15.2)～(17)を取り上げる。

式(15.2)を取り上げ、もし式(15.2)の  $\beta_g$  が零であれば、すなわち

$$V_i = Z_g^* I_i \quad (50.1)$$

ならば、反射波がなく入射波のみであるから、入射波の電圧  $\alpha_g^V$  は式(50.1)と式(15.1)に代入して次のように求まる。

$$\alpha_g^V = \frac{1}{2} (Z_g^* I_i + Z_g I_i) = R_g I_i \quad (50.2)$$

この場合  $I_i$  は入射波の電流のみであるから、

$$I_i = I_i \quad (50.3)$$

$$\therefore \alpha_g^V = R_g I_i \quad (50.4)$$

となり、 $\alpha_g^V$  は式(46.1)における  $V_i$  と異なる。すなわち、電圧複素 S 行列における入射波の電流はインピーダンス  $Z_g^*$  に流れている電流であるが、電圧は  $Z_g^*$  の電位差ではなく、 $Z_g^*$  の実数部すなわち抵抗  $R_g$  の電圧になつてゐる。

同様に式(15.1)を取り上げ、もし  $\alpha_g$  が零であれば

$$V_i = -Z_g I_i \quad (51.1)$$

入射波が  $I_i$  から反射波のみとなり、反射波の電圧  $\beta_g^V$  は式(51.1)と式(15.2)に代入して次のように求まる。

$$\beta_g^V = \frac{1}{2} (-Z_g I_i - Z_g^* I_i) = -R_g I_i \quad (51.2)$$

この場合、 $-I_i$  は反射波の電流  $I_r$  であるから、

$$\beta_g^V = R_g I_r \quad (51.3)$$

すなわち、反射波も入射波と同様に、電圧複素 S 行列の反射電圧は  $Z_g$  の電位差ではなく、 $Z_g$  の実数部すなわち抵抗  $R_g$  の電圧を表わす。

透過波についても実際の電圧、電流が電圧複素 S 行列でどのように表されるかを文献(2)で考察してあり、透過波の電流は実際の電流を示し、透過波の電圧は負荷インピーダンスの実数部である抵抗と電流との積となつてゐる。

このように、電圧複素 S 行列の入射波、反射波、透過波の電流は実際の電流そのものであるが、電圧は実際の電圧ではなく、電力に關係するものとなるよう抵抗分における電圧になつてゐる。したがって、電圧複素 S 行列における電圧反射係数は  $R_g I_r / R_g I_i$  と表わされると同時に  $I_r / I_i$  となり、電流反射係数と等しくなることが理解された。

複素 S 行列はエネルギーあるいは電力の流れを表すものであり、それは電圧複素 S 行列を正規化して得られる。一方、電圧複素 S 行列の波は実は電流が基になつており、反射係数は電流反射係数に等しくなつてゐる。そこで電流を基とする入射波および反射波の有効電力について考えてみよう。入射波の電流は  $I_i$  であり、入射波の有効電力は  $\text{Re}\{Z_g^* I_i \cdot I_i^*\} = R_g |I_i|^2$  と考えられる。また反射波の有効電力は  $\text{Re}\{Z_g I_r \cdot I_r^*\} = R_g |I_r|^2$  と考えられる。これらの有効電力は電圧複素 S 行列のそれぞれ入射電圧、反射電圧に入射電流、反射電流の共役数を乗じたものと同一である。

ところで、正規化された複素 S 行列の入射波  $\alpha_g$  および反射波  $\beta_g$  は有効電力に關係して  $\alpha_g \alpha_g^*$  および  $\beta_g \beta_g^*$  が入射電力および反射電力であり、それらは  $R_g |I_i|^2$  および  $R_g |I_r|^2$  に等しい。従つて

$$\alpha_g = \sqrt{R_g} I_i = \alpha_g^V / \sqrt{R_g} \quad (52.1)$$

$$\beta_g = \sqrt{R_g} I_r = \beta_g^V / \sqrt{R_g} \quad (52.2)$$

と表わすのが妥当と考えられるから、電圧複素 S 行列を正規化するものは文献(3)に示す通りの  $\sqrt{R_g}$  であり、式(12)～(14)が複素 S 行列として妥当な表現となる。

### 7. 検討とまとめ

伝送線路が与えられていて、その特性インピーダンスが複素数であっても、その解析は公知とされている。その解析を実際に用ひてみると、

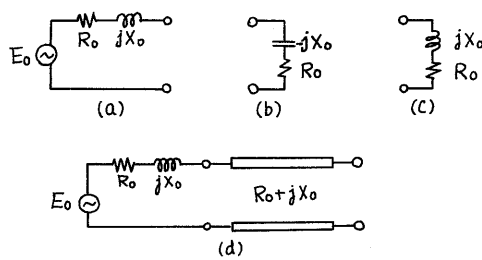


図12 単一周波数の電源に対する負荷

少し検討を要すると思われる問題もある。例えば、図12(a)に示す電源を考える。すなわち、單一周波数 $f_0$ の電圧源でその電圧は $E_0$ とし、内部インピーダンスを等価的に表わすと抵抗 $R_0$ とリアクタンス $jX_0$ とする。

この電源に定常状態で整合する負荷インピーダンスを求めよといふ問題には、大部分の方々は図12(b)の共役整合するインピーダンスを送るべきではないだろうか? 図12(c)のように電源の内部インピーダンスに等しい負荷を選ばるのは少數派と考えられる。

この電源の内部インピーダンスに等しい特性インピーダンスの伝送線路が電源に接続された図12(d)の回路に対する、その伝送線路がいかに短かくとも負荷は図12(c)のとき完全整合しているといわれる。

過渡状態は別にして定常状態であれば、伝送線路が短かければその伝送線路がむごいことで近似できるはずであるから、図12(b)を送るべきになり、このギャップをどう埋めたらよいだろう。

この例題を考えると、入射波、反射波および透過波の定義から見なおす必要があるようと思われ、反射係数、インピーダンス整合などを検討してみた。

その結果、公知の電圧反射係数である式(7)の $\Gamma_c^V$ および式(8)の $\Gamma_c^V$ は電力とは全く無関係で電圧のみに関係して図12(a)の電源が与えられたとき、図12(c)の負荷を接続したときの電圧反射係数が零になり、波の電圧はインピーダンスに電流が流れた結果インピーダンスに生じた電圧そのものを表している。従って負荷の選び方によつては電圧反射係数は本文3.4の例題1に示したように、その絶対値は1以上になる。

図12(a)の電源に対して図12(b)の負荷で反射係数が零になる複素S行列がある。複素S行列は

マイクロ波トランジスタの解析に欠かせない手法であるが、その他の分野で余り用いられないのは、電圧、電流が測定できることでは無理に入射波、反射波を用いる必要があるからであろう。そこで複素S行列ではなく、直接電圧および電流が関係する電圧複素S行列を考えることにした。それは複素S行列を正規化しないものであり、電圧複素S行列で考察することにより、正規化の値も明らかにできた。

電圧複素S行列の入射電圧、反射電圧は6.3で示したようにインピーダンス全体の電圧ではなく、インピーダンスの実数部すなはち抵抗の電圧であることが示された。従って電圧複素S行列では有効電力のみが関係し、無効電力を考慮しないことに相当する。よって、図12(a)の電源を電圧複素S行列で扱うときは電圧 $E_0$ と内部抵抗 $R_0$ のみの回路となり、リアクタンス $jX_0$ は負荷の一部と一緒にになって消されるときに整合することが示された。また本文3.4の例題1では負荷の抵抗が零のため負荷を取り出せる有効電力は零となり、すべて反射することを示す値(絶対値が1)になった。

定常状態では伝送線路であっても電圧複素S行列を用いて有効電力に寄する解析ができる。しかし瞬時的には用いることができないので、瞬時にも電圧複素S行列を使える回路を6.1で求め、それを擬似伝送線路と名付け、その特徴の一部を6.1に述べた。

### 文 献

- (1) "電気工学ハンドブック" 電気学会(昭53)
- (2) 永井信夫: "損失をもつ伝送線路のスキヤタリング行列に関する一検討", 信学技報 CAS 86-66 (1986-07)
- (3) H.J.Carlin and A.B.Giordano: "Network theory", Prentice-Hall, Englewood Cliffs, N.J. (1964)  
本文の引用はすべて pp. 326 - 338
- (4) 岸源也: "通信伝送", コロナ社(昭36)
- (5) V. Belevitch: "Classical network theory", Holden-Day, San Francisco (1968)
- (6) 渡部和: "伝送回路網の理論と設計", オーム社(昭43)
- (7) 永井, 鈴木: "複素等長分布定数回路の基本性質について", 信学技報 CAS 85-104 (1985-11)